

REVISTA PROYECCIONES N° 6: 11-50.
DICIEMBRE 1983.

SOLUCIÓN NUMÉRICA DE ECUACIONES ELÍPTICAS POR EL MÉTODO DEL
PRODUCTO TENSORIAL CON USO DE LA TRANSFORMADA RÁPIDA
DE FOURIER

OSCAR ROJO J.*
RICARDO SOTO M.*

RESUMEN.

Se describe el método del Producto Tensorial para la solución numérica de Ecuaciones Diferenciales Parciales Elípticas Lineales Separables presentado originalmente en [3]. La solución por este método requiere del cálculo sucesivo de cuatro matrices. En este trabajo, tal cálculo es efectuado usando un algoritmo presentado en [5] que hace uso de la transformada rápida de Fourier. El método es aplicado a las ecuaciones de Poisson, de Helmholtz y Biarmónica con condiciones de Dirichlet en la frontera. Se dan ejemplos y se presentan los respectivos programas computacionales.

* Profesor Departamento de Matemáticas, Facultad de Ciencias, Universidad del Norte.

1. INTRODUCCION.

El Método del Producto Tensorial se basa en una idea simple y fundamental, que constituye la base del clásico método de separación de variables del análisis. Si el problema es separable, entonces la solución puede expresarse en términos de productos tensoriales de soluciones de problemas de menor dimensión y por lo tanto más simples. En el caso de las ecuaciones diferenciales parciales, esta idea implica que las matrices involucradas pueden ser expresadas en términos de productos tensoriales de matrices de menor orden.

En los casos más simples, la discretización de la ecuación diferencial conduce a una ecuación matricial de la forma

$$(1.1) \quad (I \otimes A + B \otimes I)v = g$$

donde A, B e I son matrices y v y g vectores.

Lo interesante es que el método del Producto Tensorial d^a la solución exacta (salvo errores de redondeo) de la ecuación (1.1), la que puede ser computada con menos operaciones que las requeridas por el común de los esquemas iterativos de sobrerelajación.

Sin embargo, nuestro propósito es aplicar al proceso de solución numérica de ecuaciones elípticas, el método del Producto Tensorial combinado con el algoritmo de la Transformada Rápida de Fourier (algoritmo FFT). Esta combinación d^a soluciones directas que son computadas más eficientemente que por el método del Producto Tensorial.

Empezaremos por definir el producto tensorial de matrices y enunciar algunas de sus propiedades.

Definición 1.1.

Sean A y B matrices de orden $m \times n$ y $k \times l$ respectivamente con elementos a_{ij} y b_{ij} . El producto tensorial de A y B , denotado por $A \otimes B$ es la matriz de orden $mk \times nl$

$$A \otimes B = \begin{bmatrix} a_{11}B & a_{12}B & \dots & a_{1n}B \\ a_{21}B & a_{22}B & \dots & a_{2n}B \\ a_{31}B & a_{32}B & \dots & a_{3n}B \\ \vdots & \vdots & & \vdots \\ \vdots & \vdots & & \vdots \\ \vdots & \vdots & & \vdots \\ a_{m1}B & a_{m2}B & \dots & a_{mn}B \end{bmatrix}$$

Si $n = l = 1$, A y B son vectores columnas y su producto tensorial es un vector columna de mk componentes.

Propiedades:

$$1.2. (A+B) \otimes C = A \otimes C + B \otimes C$$

$$1.3. A \otimes (B+C) = A \otimes B + A \otimes C$$

$$1.4. (A \otimes B) (C \otimes D) = AC \otimes BD$$

$$1.5. (A \otimes B)^T = A^T \otimes B^T$$

$$1.6. (A \otimes B)^{-1} = A^{-1} \otimes B^{-1}$$

1.7. Si x e y son autovectores de A y B , con autovalores λ y μ respectivamente, entonces $x \otimes y$ es un autovector de $A \otimes B$ con autovalor $\lambda\mu$.

2. EL METODO DEL PRODUCTO TENSORIAL.

Consideremos la ecuación diferencial parcial elíptica lineal de 2º orden en dos variables independientes x e y

$$(2.1) \quad L[u] = f$$

donde el operador diferencial L tiene la forma $L = L_x + L_y$, con

$$(2.2) \quad L_x = -a_2(x) \frac{\partial^2}{\partial x^2} + a_1(x) \frac{\partial}{\partial x} + a_0(x), \quad a_2 > 0, \quad a_0, a_1 \geq 0$$

$$(2.3) \quad L_y = -b_2(y) \frac{\partial^2}{\partial y^2} + b_1(y) \frac{\partial}{\partial y} + b_0(y), \quad b_2 > 0, \quad b_0, b_1 \geq 0$$

o bien la ecuación

$$(2.4) \quad -a_2(x)u_{xx} + a_1(x)u_x - b_2(y)u_{yy} + b_1(y)u_y + (a_0(x) + b_0(y))u = f(x, y)$$

sobre el rectángulo $R = \{(x, y) / a \leq x \leq b, c \leq y \leq d\}$.

Por simplicidad supondremos condiciones de borde del tipo Dirichlet.

Particionamos el dominio R colocando una malla definida por

$$(2.5) \quad P_{h,k} = \{(x_i, y_j) / x_i = x_0 + ih, y_j = y_0 + jk, i=0, 1, \dots, n; j=0, 1, \dots, m\}$$

donde

$$x_0 = a, \quad y_0 = c, \quad h = \frac{b-a}{n}, \quad k = \frac{d-c}{m}.$$

Sustituimos las derivadas en (2.4) por las aproximaciones por diferencias finitas

$$(2.6) \quad u_{xx}(x_i, y_j) = \frac{u_{i-1,j} - 2u_{ij} + u_{i+1,j}}{h^2} + O(h^2)$$

$$(2.7) \quad u_x(x_i, y_j) = \frac{u_{i+1,j} - u_{i-1,j}}{2h} + O(h^2) \quad y$$

análogamente para $u_{yy}(x_i, y_j)$ y $u_y(x_i, y_j)$. Esto conduce a la ecuación de diferencias

$$(2.8) \quad \frac{1}{2h^2} [-(a_1 h + 2a_2)v_{i-1,j} + 2(a_0 h^2 + 2a_2)v_{ij} - (2a_2 - a_1 h)v_{i+1,j}] + \\ + \frac{1}{2k^2} [-(b_1 k + 2b_2)v_{i,j-1} + 2(b_0 k^2 + 2b_2)v_{ij} - (2b_2 - b_1 k)v_{i,j+1}] = f_{ij},$$

donde $v_{ij} = v(x_i, y_j)$ es una aproximación a $u(x_i, y_j)$ y las funciones a_k y b_k , $k = 0, 1, 2$ son evaluadas en los puntos x_i e y_j respectivamente.

Aplicando (2.8) en cada punto interior (x_i, y_j) de la malla, $i = 1, 2, \dots, n-1; j = 1, 2, \dots, m-1$, se obtiene un sistema lineal de ecuaciones de tamaño $(n-1)(m-1) \times (n-1)(m-1)$ el que puede ser escrito en la forma

$$(2.9) \quad (I \otimes A + B \otimes I)v = g, \text{ donde}$$

$$(2.10) \quad A = \frac{1}{2h^2} \begin{bmatrix} 2(a_0 h^2 + 2a_2) & - (2a_2 - a_1 h) & & & & & & \\ - (a_1 h + 2a_2) & 2(a_0 h^2 + 2a_2) & - (2a_2 - a_1 h) & & & & & \\ & \ddots & \ddots & \ddots & & & & \\ & & & & \ddots & & & - (2a_2 - a_1 h) \\ & & & & & \ddots & & \\ & & & & & & \ddots & - (a_1 h + 2a_2) \\ & & & & & & & 2(a_0 h^2 + 2a_2) \end{bmatrix}$$

$$(2.11) \quad B = \frac{1}{2k^2} \begin{bmatrix} 2(b_0 k^2 + 2b_2) & -(2b_2 - b_1 k) & & & \\ -(b_1 k + 2b_2) & 2(b_0 k^2 + 2b_2) & -(2b_2 - b_1 k) & & \\ & \ddots & \ddots & \ddots & \\ & & \ddots & \ddots & -(2b_2 - b_1 k) \\ & & & -(b_1 k + 2b_2) & 2(b_0 k^2 + 2b_2) \end{bmatrix}$$

Las matrices A y B son tridiagonales y de tamaño $(n-1) \times (n-1)$ y $(m-1) \times (m-1)$ respectivamente, mientras que los vectores v y g son de dimensión $(n-1)(m-1)$ y g incluye los valores de f y los de u en la frontera. Las matrices I, son matrices identidad de tamaño apropiado.

Para h y k suficientemente pequeños, las matrices A y B resultan ser del tipo diagonal dominante. En efecto eligiendo h tal que $a_1 h - 2a_2 < 0$ se tiene $|a_1 h + 2a_2| = 2a_2 \pm a_1 h$ y $|a_1 h + 2a_2| + |a_1 h - 2a_2| = 4a_2$ que es menor o igual que el correspondiente elemento de la diagonal $4a_2 + 2a_0 h^2$ pues $a_0 \geq 0$. El mismo argumento es válido para B con k suficientemente pequeño.

La matriz $(I \otimes A + B \otimes I)$ tiene a lo más cinco elementos no nulos sobre cada fila y del carácter diagonal dominante que tienen las matrices A y B con elementos positivos en la diagonal, se sigue que $(I \otimes A + B \otimes I)$ es también una matriz diagonal dominante con desigualdad estricta para al menos una fila. Puede probarse también que $(I \otimes A + B \otimes I)$ es irreducible y luego por lo anterior irreduciblemente diagonal dominante. Entonces a partir del Teorema de Gershgorin se sigue que $(I \otimes A + B \otimes I)$ es una matriz no singular. Así el sistema (2.9) tiene una única solución.

Si las matrices A y B son diagonalizables, entonces existen matrices P y Q no singulares tales que

$$(2.12) \quad P^{-1}AP = \Lambda(A) \quad \text{y} \quad Q^{-1}BQ = \Lambda(B),$$

donde $\Lambda(A)$ y $\Lambda(B)$ son matrices diagonales cuyos elementos diagonales son los autovalores de A y B respectivamente.

Aplicando propiedades del producto tensorial se tiene que

$$\begin{aligned} Q^{-1} \otimes P^{-1} (I \otimes A + B \otimes I) Q \otimes P &= \\ &= I \otimes P^{-1} AP + Q^{-1} BQ \otimes I \\ &= I \otimes \Lambda(A) + \Lambda(B) \otimes I, \end{aligned}$$

de donde:

$$(2.13) \quad (I \otimes A + B \otimes I)^{-1} = Q \otimes P (I \otimes \Lambda(A) + \Lambda(B) \otimes I)^{-1} Q^{-1} \otimes P^{-1}$$

Así, la solución del sistema matricial (2.9) queda dada por

$$(2.14) \quad v = Q \otimes P (I \otimes \Lambda(A) + \Lambda(B) \otimes I)^{-1} Q^{-1} \otimes P^{-1} g, \text{ donde}$$

la matriz $(I \otimes \Lambda(A) + \Lambda(B) \otimes I)$ es diagonal y su inversa se computa trivialmente. La solución dada por (2.14) es exacta, salvo errores de redondeo.

En muchos casos de interés práctico, los autovectores y autovalores de las matrices A y B son conocidos o bien pueden ser obtenidos con relativa facilidad dado que A y B son tridiagonales.

En orden a computar la solución v (no es recomendable computar la inversa (2.13) para luego multiplicarla por g), podemos escribir (2.14) para cada punto interior (x_i, y_j) de la malla en términos de elementos matriciales como

$$(2.15) \quad v_{ij} = \sum_{\beta=1}^{m-1} q_{i\beta} \sum_{\alpha=1}^{n-1} p_{j\alpha} \frac{1}{\lambda_{\alpha}(A) + \lambda_{\beta}(B)} \sum_{k=1}^{m-1} q'_{\beta k} \sum_{l=1}^{n-1} p'_{\alpha l} g_{kl},$$

donde $P = (p_{j\alpha})$, $P^{-1} = (p'_{\alpha l})$, $Q = (q_{i\beta})$, $Q^{-1} = (q'_{\beta k})$ y

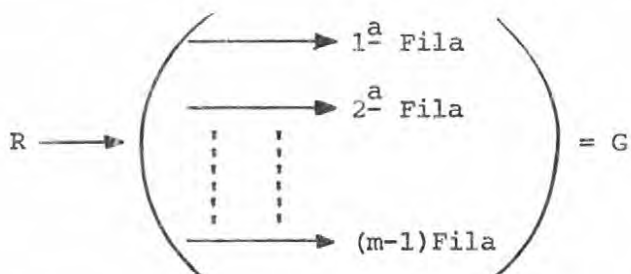
$\lambda_{\alpha}(A)$ y $\lambda_{\beta}(B)$ son los autovalores de A y B respectivamente.

La solución v puede ser obtenida computando sucesivamente tres matrices intermedias R, S y T y la matriz solución V según el siguiente algoritmo:

1º) Computar la matriz

$$(2.16) \quad R = (r_{k\alpha}) = \sum_{l=1}^{n-1} p'_{\alpha l} g_{kl}$$

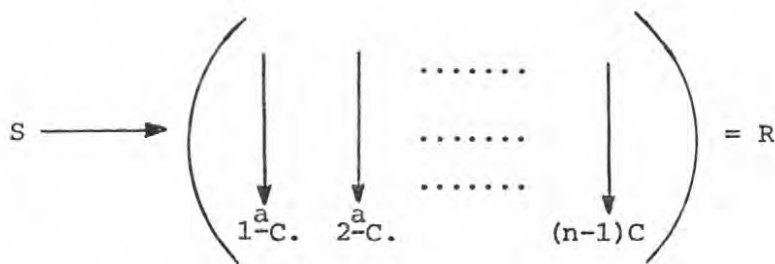
La k-ésima fila de R se forma multiplicando (en el sentido del producto escalar de vectores) cada fila de P^{-1} por la k-ésima fila de G, donde G es la "matriz del segundo miembro" formada haciendo una partición adecuada del vector g de constantes del segundo miembro de (2.9). La k-ésima fila de R así computada, es almacenada en el espacio correspondiente a la k-ésima fila de G, de modo que R ocupará finalmente el espacio que originalmente ocupaba G.



2º) Computar la matriz

$$(2.17) \quad S = (S_{\beta\alpha} = \frac{1}{\lambda_{\alpha}(A) + \lambda_{\beta}(B)} \sum_{k=1}^{m-1} q'_{\beta k} r_{k\alpha})$$

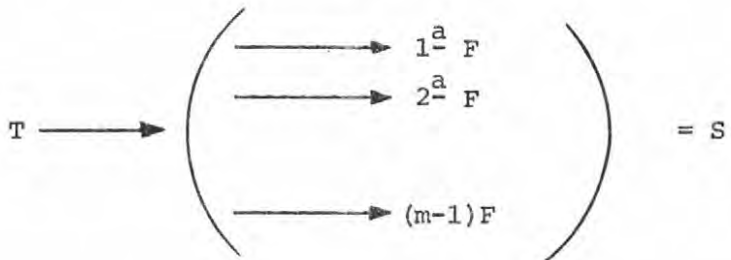
La α -ésima columna de S es obtenida multiplicando cada fila de Q^{-1} por la α -ésima columna de R . S es almacenada en R por columnas



3º) Computar la matriz

$$(2.18) \quad T = (t_{\alpha j} = \sum_{\alpha=1}^{n-1} p_{j\alpha} s_{\beta\alpha})$$

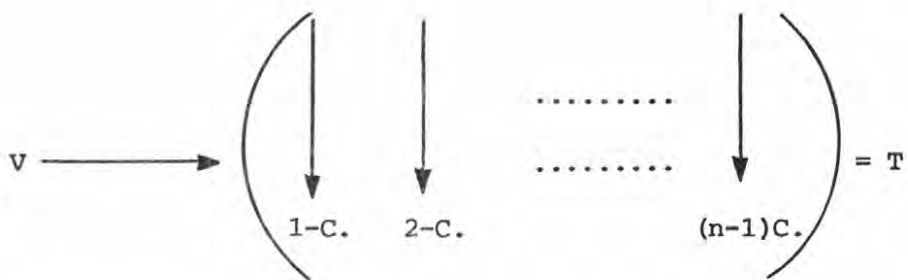
La β -ésima fila de T es computada multiplicando cada fila de P por la β -ésima fila de S . T es almacenada en S por filas



4º) Computar la matriz

$$(2.19) \quad V = (v_{ij} = \sum_{\beta=1}^{m-1} q_{i\beta} t_{\beta j})$$

La j -ésima columna de V es computada multiplicando cada fila de Q por la j -ésima columna de T . V es almacenada en T por columnas



3. PRODUCTO TENSORIAL-TRANSFORMADA RAPIDA DE FOURIER (TP-FFT).

El cálculo de las matrices R , S , T y V de la sección 2 puede ser efectuado muy eficientemente por medio del algoritmo de la Transformada Rápida de Fourier (FFT). En particular queremos aplicar al cálculo de dichas matrices el algoritmo presentado en [5] para computar el producto Qc , donde Q es una matriz y c un vector. Este algoritmo hace uso de la FFT y puede ser aplicado en combinación con el método del Productor Tensorial (TP) en la solución de diversos problemas de interés práctico. Esto puede hacerse directamente debido a que las matrices P y Q involucradas en el cálculo de (2.15) en estos problemas, coinciden con la matriz Q del producto Qc mencionado.

3.1. La Ecuación de Poisson.

Consideremos la ecuación de Poisson

$$(3.1) \quad -\Delta u = -(u_{xx} + u_{yy}) = f(x,y)$$

con condiciones de borde de Dirichlet sobre el rectángulo

$$R = \{(x,y)/a \leq x \leq b, c \leq y \leq d\}.$$

Particionamos el dominio R como en (2.5) con un espaciado horizontal

$$h = \frac{b-a}{n} \text{ y un espaciado vertical } k = \frac{d-c}{m}.$$

Aproximando el Laplaciano por aproximaciones por diferencias finitas obtenemos la ecuación de diferencias

$$(3.2) \quad \frac{1}{h^2} (-v_{i-1,j} + 2v_{ij} - v_{i+1,j}) + \frac{1}{k^2} (-v_{i,j-1} + 2v_{ij} - v_{i,j+1}) = f_{ij}$$

que conduce a la ecuación matricial

$$(3.3) \quad (I \otimes A + B \otimes I)v = g$$

cuya solución como hemos visto, viene dada por (2.14) y (2.15) y donde

$$(3.4) \quad A = \frac{1}{h^2} \begin{bmatrix} 2 & -1 & & & & & \\ -1 & 2 & -1 & & & & \\ & -1 & 2 & -1 & & & \\ & & \ddots & \ddots & \ddots & & \\ & & & \ddots & \ddots & \ddots & -1 \\ & & & & \ddots & \ddots & \\ & & & & & -1 & \ddots & 2 \end{bmatrix} \quad y \quad B = \frac{h^2}{k^2} A$$

El vector g incluye los valores de f y las condiciones de borde. A es de tamaño $(n-1) \times (n-1)$ y B de tamaño $(m-1) \times (m-1)$. Respecto de

A y B (que sólo se diferencian por su tamaño y los factores $\frac{1}{h^2}$ y $\frac{1}{k^2}$)

se tiene bastante información. Son conocidos sus autovectores y autovalores y las matrices que las diagonalizan, las que además son ortogonales.

Los autovalores de A en (3.4) están dados por:

$$(3.5) \quad \lambda_\alpha = \frac{1}{h^2} (2 - 2 \cos \frac{\alpha\pi}{n}), \quad \alpha = 1, 2, \dots, n-1$$

y sus autovectores tienen componentes

$$(3.6) \quad x_i^{(\alpha)} = \sin \frac{i\alpha\pi}{n}, \quad \text{con norma } \sqrt{\frac{n-1}{2}}, \quad i = 1, 2, \dots, n-1.$$

Por lo tanto, la matriz P tal que $P^{-1}AP = \Lambda(A) = \text{diag}\{\lambda_\alpha\}$ es

$$(3.7) \quad P = \sqrt{\frac{2}{n}} \begin{bmatrix} \sin \frac{\pi}{n} & \sin \frac{2\pi}{n} & \dots & \sin \frac{(n-1)\pi}{n} \\ \sin \frac{2\pi}{n} & \sin \frac{4\pi}{n} & \dots & \sin \frac{2(n-1)\pi}{n} \\ \vdots & \vdots & & \vdots \\ \vdots & \vdots & & \vdots \\ \sin \frac{(n-1)\pi}{n} & \sin \frac{2(n-1)\pi}{n} & \dots & \sin \frac{(n-1)^2\pi}{n} \end{bmatrix}$$

Los autovalores y autovectores de B son respectivamente

$$(3.8) \quad \lambda_\beta = \frac{1}{k^2} (2 - 2 \cos \frac{\beta\pi}{m}) \text{ y } x_j^{(\beta)} = \sin \frac{j\beta\pi}{m}, \text{ con norma } \sqrt{\frac{m}{2}},$$

donde $\beta = 1, 2, \dots, m-1$ y $j = 1, 2, \dots, m-1$. La matriz que diagonaliza a B es

$$(3.9) \quad Q = (q_{ij}) = \sqrt{\frac{2}{m}} (\sin \frac{ij\pi}{m}) \text{ de dimensión } (m-1) \times (m-1).$$

Las matrices P y Q son ortogonales, simétricas, y de idéntica forma y son además coincidentes con la matriz Q del algoritmo para computar el producto Qc ya mencionado. Es posible entonces, aplicar directamente este algoritmo al cálculo de las matrices R , S , T y V definidas por (2.16) - (2.19), obteniendo así una solución directa al problema (3.1).

Observemos que si R es un cuadrado particionado uniformemente ($h=k$), entonces (3.2) pasa a ser

$$(3.10) \quad (-v_{i-1,j} + 2v_{ij} - v_{i+1,j}) + (-v_{i,j-1} + 2v_{ij} - v_{i,j+1}) = h^2 f_{ij}$$

y (3.3) queda

$$(3.11) \quad (I \otimes A + A \otimes I)v = g, \text{ donde}$$

(3.12) $A =$

$$\begin{bmatrix} 2 & -1 & & & & & \\ -1 & 2 & -1 & & & & \\ & -1 & 2 & -1 & & & \\ & & \ddots & \ddots & \ddots & & \\ & & & \ddots & \ddots & \ddots & -1 \\ & & & & \ddots & \ddots & -1 \\ & & & & & -1 & 2 \end{bmatrix}$$

con autovalores $\lambda_\alpha = 2 - 2 \cos \frac{\alpha\pi}{n}$. Las matrices P y Q son tales que

$P = Q$ y $P^{-1} = P$. Entonces la relación (2.15) toma la forma

$$(3.13) \quad v_{ij} = \sum_{\beta=1}^{n-1} p_{i\beta} \sum_{\alpha=1}^{n-1} p_{j\alpha} \frac{1}{\lambda_\alpha + \lambda_\beta} \sum_{k=1}^{n-1} p_{\beta k} \sum_{l=1}^{n-1} p_{\alpha l} q_{kl}$$

3.2. Algoritmo para el cálculo del producto Qc .

Aplicamos aquí la Transformada Rápida de Fourier para computar el producto $d = Qc$, donde $c = [c_1, c_2, \dots, c_{n-1}]^T$ es un vector de componentes reales con $n = 2^{\gamma+1}$ y Q la matriz ortogonal

$$Q = (q_{ij}) = \sqrt{\frac{2}{n}} (\operatorname{sen} \frac{ij\pi}{n}), \text{ es decir,}$$

$Q = P$ es la matriz definida en (3.7).

Sea

$$(3.14) \quad d_k = \sqrt{\frac{2}{n}} \sum_{j=0}^{n-1} c_j \operatorname{sen} \frac{kj\pi}{n} \text{ con } c_0 = 0, \text{ la } k\text{-ésima componente}$$

del vector Qc .

Definimos para $k = 0, 1, \dots, n-1, n = \frac{n}{2}$:

$$p_k = \sqrt{\frac{n}{2}} d_{2k} \quad y$$

$$q_k = \sqrt{\frac{n}{2}} d_{2k+1}. \quad \text{Entonces se tiene}$$

$$(3.15) \quad p_k = \sum_{j=0}^{n-1} c_j \sin \frac{2kj\pi}{n}$$

$$(3.16) \quad q_k = \sum_{j=0}^{n-1} c_j \sin \frac{(2k+1)j\pi}{n}$$

Sean

$$(3.17) \quad C(k) = \sum_{j=0}^{n-1} c_j e^{\frac{-ikj(2\pi)}{n}} \quad y$$

$$(3.18) \quad \tilde{C}(k) = \sum_{j=0}^{n-1} \tilde{c}_j e^{\frac{-ikj(2\pi)}{n}} \quad \text{donde}$$

$$(3.19) \quad \tilde{c}_j = c_j e^{\frac{-ij\pi}{n}}, \quad i = \sqrt{-1}, \quad j = 1, 2, \dots, n-1, \quad \tilde{c}_0 = 0$$

Entonces podemos escribir

$$p_k = -\operatorname{Im} C(k) \quad y \quad q_k = -\operatorname{Im} \tilde{C}(k).$$

Para computar $C(k)$ separamos la sucesión c_j en dos nuevas succiones como sigue:

$$(3.20) \quad h_j = c_{2j}; \quad g_j = c_{2j+1}, \quad j = 0, 1, \dots, N-1, \quad h_0 = 0$$

Computamos simultáneamente las transformadas discretas

$$(3.21) \quad H(k) = \sum_{j=0}^{N-1} h_j e^{-ikj(2\pi)} \quad \text{de } h_j \quad \text{y}$$

$$(3.22) \quad G(k) = \sum_{j=0}^{N-1} g_j e^{-ikj(2\pi)} \quad \text{de } g_j, \quad \text{aplicando el algoritmo FFT}$$

a la suma

$$(3.23) \quad y_j = h_j + ig_j, \quad j = 0, 1, \dots, N-1. \quad \text{Obtenemos}$$

$$(3.24) \quad Y(k) = R(k) + iI(k), \quad \text{donde } R(k) \text{ e } I(k) \text{ son las partes real e imaginaria de } Y(k) \text{ respectivamente.}$$

$$\text{Puede probarse que } H(k) = \frac{R(k)+R(N-k)}{2} + i \frac{I(k)-I(N-k)}{2} = R_e + iI_o \quad \text{y}$$

$$G(k) = \frac{I(k)+I(N-k)}{2} - i \frac{R(k)-R(N-k)}{2} = I_e - iR_o$$

donde los subíndices e y o indican respectivamente las partes par e impar de R e I.

Escribiendo $C(k) = H(k) + e^{\frac{-ik\pi}{N}} G(k)$ se tiene entonces

$$(3.25) \quad C(k) = IR_e(k) + I_e(k) \cos \frac{k\pi}{N} - R_o \sin \frac{k\pi}{N} + \\ + i [I_o(k) - I_e(k) \sin \frac{k\pi}{N} - R_o(k) \cos \frac{k\pi}{N}] \quad \text{y de aquí}$$

$$(3.26) \quad d_{2k} = \sqrt{\frac{2}{n}} [R_o(k) \cos \frac{k\pi}{N} + I_e(k) \sin \frac{k\pi}{N} - I_o(k)], \quad k = 1, 2, \dots, N-1.$$

Repitiendo el argumento anterior, para computar $\tilde{C}(k)$ hacemos

$$(3.27) \quad \tilde{h}_j = \tilde{c}_{2j}; \quad \tilde{g}_j = \tilde{c}_{2j+1}, \quad j = 0, 1, \dots, N-1 \quad \tilde{h}_0 = 0 \quad y$$

computamos sucesivamente las transformadas discretas $\tilde{H}(k) = R_1(k) + iI_1(k)$ y $\tilde{G}(k) = R_2(k) + iI_2(k)$ de las sucesiones complejas \tilde{h}_j y \tilde{g}_j , donde R_1 e I_1 representan las partes real e imaginaria de $\tilde{H}(k)$ respectivamente, mientras que R_2 e I_2 son las partes real e imaginaria de $\tilde{G}(k)$.

Escribiendo $\tilde{C}(k) = \tilde{H}(k) + e^{\frac{-ik\pi}{N}} \tilde{G}(k)$ se obtiene finalmente

$$(3.28) \quad d_{2k+1} = \sqrt{\frac{2}{n}} [R_2(k) \sin \frac{k\pi}{N} - I_1(k) - I_2(k) \cos \frac{k\pi}{N}]$$

Resumiendo, el algoritmo queda:

- 1º) Computar c_j de (3.19).
- 2º) Separar las sucesiones c_j y \tilde{c}_j según (3.20) y (3.27).
- 3º) Computar mediante el algoritmo FFT las transformadas discretas de $y_j = h_j + ig_j$, \tilde{h}_j y \tilde{g}_j .
- 4º) Finalmente computar d_{2k} y d_{2k+1} según (3.26) y (3.28) respectivamente.

3.3. La Ecuación de Helmholtz.

Consideremos la ecuación de Helmholtz

$$(3.29) \quad -\Delta u + \sigma u = f(x,y), \quad \sigma \geq 0$$

con condiciones de borde de Dirichlet sobre el rectángulo $[a,b] \times [c,d]$. Asumimos una partición del dominio con un espaciado horizontal h y un espaciado vertical k . Aproximando el operador Laplaciano como antes obtenemos la ecuación en diferencias:

$$(3.30) \quad \frac{1}{h^2} (-v_{i-1,j} + 2v_{ij} - v_{i+1,j}) + \frac{1}{k^2} (-v_{i,j-1} + 2v_{ij} - v_{i,j+1}) + \sigma v_{ij} = f_{ij}$$

que puede escribirse como una ecuación matricial en notación tensorial como

$$(3.31) \quad (I \otimes A + B \otimes I + \sigma I \otimes I)v = g$$

Al igual que antes, las matrices A y B corresponden a aplicar la aproximación de diferencias finitas en sentido horizontal y vertical respectivamente y son las mismas definidas en (3.4). El vector g incluye los valores de u en la frontera y los valores de f .

La ecuación (3.31) puede escribirse también en la forma

$$(3.32) \quad (I \otimes (A + \sigma I) + B \otimes I)v = g$$

es decir en la forma (3.3) con $A + \sigma I$ en lugar de A .

Observemos que para $\sigma > 0$, $(I \otimes (A + \sigma I) + B \otimes I)$ es una matriz diagonal dominante estricta (para h y k suficientemente pequeños).

Ahora bien, $A+\sigma I$ tiene autovalores dados por

$$(3.33) \quad \lambda_j = \frac{1}{h^2} (2 - 2 \cos \frac{j\pi}{n}) + \sigma, \quad j = 1, 2, \dots, n-1 \quad y$$

autovectores con norma $\sqrt{\frac{n}{2}}$ definidos por

$$(3.34) \quad x_i^{(j)} = \sin \frac{ij\pi}{n}, \quad i = 1, 2, \dots, n-1$$

Es decir, la matriz P que diagonaliza a $(A+\sigma I)$ es la misma que diagonaliza a A . Luego, para hallar una solución de la ecuación de Helmholtz (3.29) se aplica el mismo procedimiento empleado para el problema (3.1) de Poisson, es decir computar las matrices R , S , T y V por medio del algoritmo para computar Q_c .

Si el dominio R es un cuadrado particionado uniformemente ($h=k$) se obtiene la ecuación en diferencias

$$(3.35) \quad (-v_{i-1,j} + 2v_{ij} - v_{i+1,j}) + (-v_{i,j-1} + 2v_{ij} - v_{i,j+1}) + \sigma h^2 v_{ij} = h^2 f_{ij}$$

que puede escribirse como

$$(3.36) \quad (I \otimes (A + \sigma h^2 I)) + A \otimes I) v = g$$

donde A tiene autovalores $\lambda_\alpha = 2 - 2 \cos \frac{\alpha\pi}{n}$, mientras que los autovalores de $(A + \sigma h^2 I)$ son $\lambda_j = 2 + \sigma h^2 - 2 \cos \frac{j\pi}{n}$.

Aunque sólo hemos establecido aquí condiciones de frontera del

tipo Dirichlet, el método puede adaptarse perfectamente bien a otro tipo de condiciones. Por ejemplo, si condiciones de frontera periódicas son dadas con las ecuaciones de Poisson y de Helmholtz, las matrices A y B son modificadas por la aparición de un -1 en las esquinas inferior izquierda y superior derecha. Estas matrices son del tipo llamado "matriz circulante" y sus autovalores y autovectores son conocidos.

3.3. La Ecuación Biarmónica.

Consideremos la ecuación biarmónica no homogénea

$$(3.37) \quad u_{xxxx} + 2u_{xxyy} + u_{yyyy} = f(x,y)$$

con condiciones de frontera dadas para u y sus segundas derivadas parciales u_{xx} y u_{yy} sobre el cuadrado $R = [a,b] \times [a,b]$.

Claramente la ecuación (3.37) es equivalente a

$$(3.38) \quad -\Delta(-\Delta u) = f(x,y)$$

lo que nos permite resolver (3.37) resolviendo dos ecuaciones de Poisson:

$$1^{\circ} \text{ Resolver} \begin{cases} -\Delta v = f \\ v = g_1, \text{ donde } -\Delta u = v \end{cases}$$

$$2^{\circ} \text{ Resolver} \begin{cases} -\Delta u = v \\ u = g_2 \end{cases}$$

En ambos problemas puede procederse del mismo modo que en el caso de la ecuación de Poisson, puesto que las matrices involucradas son las mismas.

Sin embargo es preferible resolver la ecuación (3.37) directamente del modo siguiente:

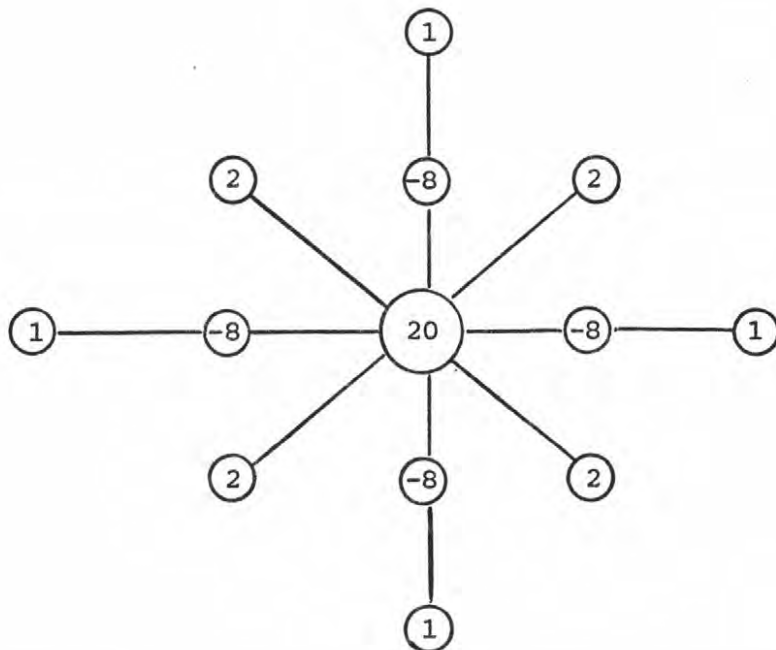
Aproximamos el operador diferencial de cuarto orden

$$\left(\frac{\partial^2}{\partial x^2} + \frac{\partial^2}{\partial y^2} \right)^2 = \frac{\partial^4}{\partial x^4} + 2 \frac{\partial^4}{\partial x^2 \partial y^2} + \frac{\partial^4}{\partial y^4}$$

por una fórmula de 13 puntos obtenida approximando dos veces el Laplaciano. Esta fórmula es

$$(3.39) \quad \Delta^2 u_{ij} = \frac{1}{h^4} [20u_{ij} - 8u_{i-1j} - 8u_{i+1,j} - 8u_{i,j-1} - 8u_{i,j+1} + \\ + 2u_{i-1,j-1} + 2u_{i-1,j+1} + 2u_{i+1,j-1} + 2u_{i+1,j+1} + \\ + u_{i-2,j} + u_{i+2,j} + u_{i,j-2} + u_{i,j+2}],$$

que puede representarse en la figura siguiente



Separar las aproximaciones en sentido horizontal, vertical y mixto conduce a la ecuación

$$(3.40) \quad (I \otimes A + A \otimes I)^2 v = (I \otimes A^2 + 2A \otimes A + A^2 \otimes I)v = g$$

Entonces,

$$(3.41) \quad v = P \otimes P [I \otimes \Lambda^2(A) + 2\Lambda(A) \otimes \Lambda(A) + \Lambda^2(A) \otimes I]^{-1} P^{-1} \otimes P^{-1} g,$$

con solución explícita dada por:

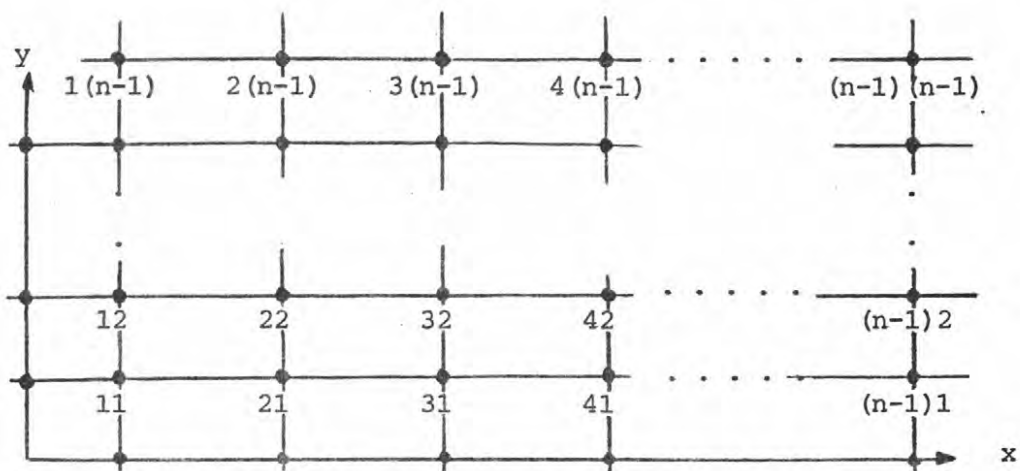
$$(3.42) \quad v_{ij} = \sum_{\beta=1}^{n-1} p_{i\beta} \sum_{\alpha=1}^{n-1} p_{j\alpha} \frac{1}{\lambda_{\alpha}^2 + 2\lambda_{\alpha}\lambda_{\beta} + \lambda_{\beta}^2} \sum_{k=1}^{n-1} p_{\beta k} \sum_{l=1}^{n-1} p_{\alpha l} g_{kl}$$

Nuevamente λ_{α} y λ_{β} son nuestros conocidos autovalores de A en (3.12), mientras que la matriz P que diagonaliza a A ha sido definida en (3.7). Así, podemos aplicar una vez más el algoritmo "Qc" para computar las matrices R , S , T y V que permiten obtener (3.42).

Queremos comentar aquí, que el método combinado Producto Tensorial Transformada Rápida de Fourier, requiere para computar la solución de los problemas presentados, almacenar en memoria solo una matriz de dimensión $(n-1) \times (m-1)$, que inicialmente corresponde a la matriz G del segundo miembro. Todas las siguientes matrices que se computan son almacenadas sucesivamente en G .

4. EJEMPLOS.

En los ejemplos que se presentan $R = [0,1] \times [0,1]$ es discretizado en una malla uniforme de paso $h = \frac{1}{n}$, la que es numerada de la forma siguiente



Los resultados numéricos están dados en una matriz de componentes v_{ij}

de modo que el valor v_{ij} es una aproximación para $u\left(\frac{i}{n}, \frac{j}{n}\right)$.

Ejemplo 4.1.

$$-\Delta u = \sin x + \sin y$$

$$u = \sin x + \sin y, (x,y) \in \partial R$$

La solución exacta es $u(x,y) = \sin x + \sin y$. Con $n=16$ obtuvimos las siguientes aproximaciones para $u(x,y)$:

RESULTADOS FINALES

| AA | | | | | | | | | |
|-----------|-----------|-----------|-----------|-----------|-----------|-----------|-----------|-----------|-----------|
| 0.1249196 | 0.1871358 | 0.2488651 | 0.3098664 | 0.3699015 | 0.4287360 | 0.4861401 | 0.5418896 | 0.5957669 | 0.6475615 |
| 0.6970712 | 0.7441026 | 0.7884719 | 0.8300059 | 0.8685424 | | | | | |
| 0.1871358 | 0.2493528 | 0.3110828 | 0.3720846 | 0.4321202 | 0.4909551 | 0.5483594 | 0.6041092 | 0.6579865 | 0.7097812 |
| 0.7592906 | 0.8063217 | 0.8506905 | 0.8922237 | 0.9307591 | | | | | |
| 0.2488651 | 0.3110828 | 0.3728133 | 0.4338157 | 0.4938517 | 0.5526869 | 0.6100915 | 0.6658414 | 0.7197188 | 0.7715134 |
| 0.8210226 | 0.8680533 | 0.9124217 | 0.9539542 | 0.9924887 | | | | | |
| 0.3098664 | 0.3720846 | 0.4338157 | 0.4948184 | 0.5548548 | 0.6136902 | 0.6710950 | 0.7268450 | 0.7807225 | 0.8325169 |
| 0.8820261 | 0.9290565 | 0.9734243 | 1.0149563 | 1.0534902 | | | | | |
| 0.3699015 | 0.4321202 | 0.4938517 | 0.5548548 | 0.6148914 | 0.6737271 | 0.7311321 | 0.7868821 | 0.8407596 | 0.8925540 |
| 0.9420630 | 0.9890931 | 1.0334606 | 1.0749922 | 1.1135254 | | | | | |
| 0.4287360 | 0.4909551 | 0.5526869 | 0.6136902 | 0.6737271 | 0.7325629 | 0.7899680 | 0.8457181 | 0.8995956 | 0.9513899 |
| 1.0008987 | 1.0479287 | 1.0922959 | 1.1338271 | 1.1723599 | | | | | |
| 0.4861401 | 0.5483594 | 0.6100915 | 0.6710950 | 0.7311321 | 0.7899680 | 0.8473732 | 0.9031233 | 0.9570008 | 1.0087951 |
| 1.0583038 | 1.1053336 | 1.1497006 | 1.1912316 | 1.2297640 | | | | | |
| 0.5418896 | 0.6041092 | 0.6658414 | 0.7268450 | 0.7868821 | 0.8457181 | 0.9031233 | 0.9588735 | 1.0127509 | 1.0645452 |
| 1.1140539 | 1.1610836 | 1.2054505 | 1.2469813 | 1.2855136 | | | | | |
| 0.5957669 | 0.6579865 | 0.7197188 | 0.7807225 | 0.8407596 | 0.8995956 | 0.9570008 | 1.0127509 | 1.0666283 | 1.1184226 |
| 1.1679313 | 1.2149610 | 1.2593279 | 1.3008586 | 1.3393908 | | | | | |
| 0.6475615 | 0.7097812 | 0.7715134 | 0.8325169 | 0.8925540 | 0.9513899 | 1.0087951 | 1.0645452 | 1.1184226 | 1.1702169 |
| 1.2197256 | 1.2667554 | 1.3111223 | 1.3526532 | 1.3911855 | | | | | |
| 0.6970712 | 0.7592906 | 0.8210226 | 0.8820261 | 0.9420630 | 1.0008987 | 1.0583038 | 1.1140539 | 1.1679313 | 1.2197256 |
| 1.2692344 | 1.3162643 | 1.3606315 | 1.4021625 | 1.4406950 | | | | | |
| 0.7441026 | 0.8063217 | 0.8680533 | 0.9290565 | 0.9890931 | 1.0479287 | 1.1053336 | 1.1610836 | 1.2149610 | 1.2667554 |
| 1.3162643 | 1.3632945 | 1.4076619 | 1.4491934 | 1.4877263 | | | | | |
| 0.7884719 | 0.8506905 | 0.9124217 | 0.9734243 | 1.0334606 | 1.0922959 | 1.1497006 | 1.2054505 | 1.2593279 | 1.3111223 |
| 1.3606315 | 1.4076619 | 1.4520298 | 1.4935618 | 1.5320954 | | | | | |
| 0.8300059 | 0.8922237 | 0.9539542 | 1.0149563 | 1.0749922 | 1.1338271 | 1.1912316 | 1.2469813 | 1.3008586 | 1.340859 |
| 1.4021625 | 1.4491934 | 1.4935618 | 1.5350946 | 1.5736292 | | | | | |
| 0.8685424 | 0.9307591 | 0.9924887 | 1.0534902 | 1.1135254 | 1.1723599 | 1.2297640 | 1.2855136 | 1.3393908 | 1.3911855 |
| 1.4406950 | 1.4877263 | 1.5320954 | 1.5736292 | 1.6121652 | | | | | |

Ejemplo 4.2.

$$-\Delta u + 2u = 2xy$$

$$u = xy, (x,y) \in \partial R$$

La solución exacta es $u = xy$. Con $n=8$ obtuvimos una solución numérica exacta. El error de discretización es cero.

RESULTADOS FINALES

----- ** -----

| | | | | | | |
|-----------|-----------|-----------|-----------|-----------|-----------|-----------|
| 0.0156250 | 0.0312500 | 0.0468750 | 0.0625000 | 0.0781250 | 0.0937500 | 0.1093750 |
| 0.0312500 | 0.0625000 | 0.0937500 | 0.1250000 | 0.1562500 | 0.1875000 | 0.2187500 |
| 0.0468750 | 0.0937500 | 0.1406250 | 0.1875000 | 0.2343750 | 0.2812500 | 0.3281250 |
| 0.0625000 | 0.1250000 | 0.1875000 | 0.2500000 | 0.3125000 | 0.3750000 | 0.4375000 |
| 0.0781250 | 0.1562500 | 0.2343750 | 0.3125000 | 0.3906250 | 0.4687500 | 0.5468750 |
| 0.0937500 | 0.1875000 | 0.2812500 | 0.3750000 | 0.4687500 | 0.5625000 | 0.6562500 |
| 0.1093750 | 0.2187500 | 0.3281250 | 0.4375000 | 0.5468750 | 0.6562500 | 0.7656250 |

Ejemplo 4.3.

$$-\Delta u + \pi^2 u = 2\pi^2 (\cos \pi x + \cos \pi y)$$

$$u = \cos \pi x + \cos \pi y, (x, y) \in \partial R$$

La solución es $u(x, y) = \cos \pi x + \cos \pi y$. Con $n=16$ obtuvimos los siguientes resultados:

RESULTADOS FINALES

| ----- AA ----- | | | | | | | | | |
|----------------|------------|------------|------------|------------|------------|------------|------------|------------|------------|
| 1.9618079 | 1.9050227 | 1.8126672 | 1.6883169 | 1.5367646 | 1.3638425 | 1.1762016 | 0.9810560 | 0.7859079 | 0.5982585 |
| 0.4253206 | 0.2737410 | 0.1493455 | 0.0569150 | -0.0000001 | | | | | |
| 1.9050227 | 1.8483189 | 1.7560074 | 1.6316719 | 1.4801130 | 1.3071691 | 1.1194963 | 0.9243128 | 0.7291247 | 0.5414365 |
| 0.3684637 | 0.2168560 | 0.0924407 | 0.0000001 | -0.0569150 | | | | | |
| 1.8126672 | 1.7560074 | 1.6637225 | 1.5393970 | 1.3878342 | 1.2148761 | 1.0271817 | 0.8319725 | 0.6367574 | 0.4490433 |
| 0.2760484 | 0.1244241 | -0.0000001 | -0.0924408 | -0.1493458 | | | | | |
| 1.6883169 | 1.6316719 | 1.5393970 | 1.4150742 | 1.2635067 | 1.0905379 | 0.9028285 | 0.7076020 | 0.5123692 | 0.3246390 |
| 0.1516315 | 0.0000000 | -0.1244242 | -0.2168559 | -0.2737411 | | | | | |
| 1.5367646 | 1.4801130 | 1.3878342 | 1.2635067 | 1.1119324 | 0.9389543 | 0.7512340 | 0.5559959 | 0.3607520 | 0.1730128 |
| 0.0000000 | -0.1516315 | -0.2760486 | -0.3684637 | -0.4253207 | | | | | |
| 1.3638425 | 1.3071691 | 1.2148761 | 1.0905379 | 0.9389543 | 0.7659675 | 0.5782388 | 0.3829930 | 0.1877429 | 0.0000000 |
| -0.1730129 | -0.3246390 | -0.4490435 | -0.5414364 | -0.5982587 | | | | | |
| 1.1762016 | 1.1194963 | 1.0271817 | 0.9028285 | 0.7512340 | 0.5782388 | 0.3905036 | 0.1952530 | 0.0000001 | -0.1877428 |
| -0.3607519 | -0.5123691 | -0.6367574 | -0.7291246 | -0.7859080 | | | | | |
| 0.9810560 | 0.9243128 | 0.8319725 | 0.7076020 | 0.5559959 | 0.3829930 | 0.1952530 | 0.0000000 | -0.1952528 | -0.3829930 |
| -0.5559958 | -0.7076019 | -0.8319725 | -0.9243127 | -0.9810561 | | | | | |
| 0.7859079 | 0.7291247 | 0.6367574 | 0.5123692 | 0.3607520 | 0.1877429 | 0.0000001 | -0.1952528 | -0.3905033 | -0.5782386 |
| -0.7512338 | -0.9028283 | -1.0271815 | -1.1194960 | -1.1762016 | | | | | |
| 0.5982585 | 0.5414365 | 0.4490433 | 0.3246390 | 0.1730128 | 0.0000000 | -0.1877428 | -0.3829930 | -0.5782386 | -0.7659675 |
| -0.9389542 | -1.0905378 | -1.2148760 | -1.3071690 | -1.3638427 | | | | | |
| 0.4253206 | 0.3684637 | 0.2760484 | 0.1516315 | 0.0000000 | -0.1730129 | -0.3607519 | -0.5559958 | -0.7512338 | -0.9389542 |
| -1.1119322 | -1.2635065 | -1.3878341 | -1.4801127 | -1.5367646 | | | | | |
| 0.2737410 | 0.2168560 | 0.1244241 | 0.0000000 | -0.1516315 | -0.3246390 | -0.5123691 | -0.7076019 | -0.9028283 | -1.0905378 |
| -1.2635065 | -1.4150740 | -1.5393969 | -1.6316717 | -1.6883169 | | | | | |
| 0.1493455 | 0.0924407 | -0.0000001 | -0.1244242 | -0.2760486 | -0.4490435 | -0.6367574 | -0.8319725 | -1.0271815 | -1.2148760 |
| | | | | | | | | | |
| -1.3878341 | -1.5393969 | -1.6637224 | -1.7560072 | -1.8126673 | | | | | |
| 0.0569150 | 0.0000001 | -0.0924408 | -0.2168559 | -0.3684637 | -0.5414364 | -0.7291246 | -0.9243127 | -1.1194960 | -1.3840863 |
| -1.4801127 | -1.6316717 | -1.7560072 | -1.8483186 | -1.9050227 | | | | | |
| -0.0000001 | -0.0569150 | -0.1493458 | -0.2737411 | -0.4253207 | -0.5982587 | -0.7859080 | -0.9810561 | -1.1762016 | -1.3638427 |
| -1.5367646 | -1.6883169 | -1.8126673 | -1.9050227 | -1.9610802 | | | | | |

Ejemplo 4.4.

36

$$u_{xxxx} + 2u_{xxyy} + u_{yyyy} = 0$$

$$u(x,y) = x^2 + y^2; \quad u_{xx} = u_{yy} = 2, \quad (x,y) \in \partial R$$

La solución analítica es $u(x,y) = x^2 + y^2$. El problema es resuelto de acuerdo a (3.40) y (3.41) aplicando el algoritmo para computar Qc. Con n=16 obtuvimos las aproximaciones:

RESULTADOS FINALES

| ----- * * ----- | | | | | | | | | |
|-----------------|-----------|-----------|-----------|-----------|-----------|-----------|-----------|-----------|-----------|
| 0.0078129 | 0.0195320 | 0.0390635 | 0.0664073 | 0.1015635 | 0.1445322 | 0.1953134 | 0.2539070 | 0.3203132 | 0.3945319 |
| 0.4765630 | 0.5664067 | 0.6640629 | 0.7695315 | 0.8828128 | | | | | |
| 0.0195320 | 0.0312512 | 0.0507829 | 0.0781267 | 0.1132830 | 0.1562517 | 0.2070328 | 0.2656263 | 0.3320323 | 0.4062509 |
| 0.4882820 | 0.5781256 | 0.6757817 | 0.7812504 | 0.8945315 | | | | | |
| 0.0390635 | 0.0507829 | 0.0703146 | 0.0976585 | 0.1328148 | 0.1757834 | 0.2265644 | 0.2851579 | 0.3515638 | 0.4257823 |
| 0.5078133 | 0.5976569 | 0.6953130 | 0.8007816 | 0.9140628 | | | | | |
| 0.0664073 | 0.0781267 | 0.0976585 | 0.1250024 | 0.1601587 | 0.2031272 | 0.2539082 | 0.3125015 | 0.3789074 | 0.4531259 |
| 0.5351568 | 0.6250004 | 0.7226565 | 0.8281251 | 0.9414064 | | | | | |
| 0.1015635 | 0.1132830 | 0.1328148 | 0.1601587 | 0.1953149 | 0.2382834 | 0.2890642 | 0.3476575 | 0.4140633 | 0.4882818 |
| 0.5703127 | 0.6601563 | 0.7578124 | 0.8632812 | 0.9765625 | | | | | |
| 0.1445322 | 0.1562517 | 0.1757834 | 0.2031272 | 0.2382834 | 0.2812518 | 0.3320326 | 0.3906258 | 0.4570316 | 0.5312499 |
| 0.6132809 | 0.7031245 | 0.8007807 | 0.9062495 | 1.0195311 | | | | | |
| 0.1953134 | 0.2070328 | 0.2265644 | 0.2539082 | 0.2890642 | 0.3320326 | 0.3828133 | 0.4414065 | 0.5078122 | 0.5820306 |
| 0.6640615 | 0.7539051 | 0.8515614 | 0.9570304 | 1.0703121 | | | | | |
| 0.2539070 | 0.2656263 | 0.2851579 | 0.3125015 | 0.3476575 | 0.3906258 | 0.4414065 | 0.4999996 | 0.5664053 | 0.6406236 |
| 0.7226546 | 0.8124983 | 0.9101547 | 1.0156238 | 1.1289056 | | | | | |
| 0.3203132 | 0.3320323 | 0.3515638 | 0.3789074 | 0.4140633 | 0.4570316 | 0.5078122 | 0.5664053 | 0.6328109 | 0.7070293 |
| 0.7890603 | 0.8789041 | 0.9765605 | 1.0820297 | 1.1953117 | | | | | |
| 0.3945319 | 0.4062509 | 0.4257823 | 0.4531259 | 0.4882818 | 0.5312499 | 0.5820306 | 0.6406236 | 0.7070293 | 0.7812477 |
| 0.8632788 | 0.9531226 | 1.0507791 | 1.1562484 | 1.2695305 | | | | | |
| 0.4765630 | 0.4882820 | 0.5078133 | 0.5351568 | 0.5703127 | 0.6132809 | 0.6640615 | 0.7226546 | 0.7890603 | 0.8632788 |
| 0.9453098 | 1.0351537 | 1.1328102 | 1.2382795 | 1.3515616 | | | | | |
| 0.5664067 | 0.5781256 | 0.5976569 | 0.6250004 | 0.6601563 | 0.7031245 | 0.7539051 | 0.8124983 | 0.8789041 | 0.9531226 |
| 1.0351537 | 1.1249975 | 1.2226540 | 1.3281234 | 1.4414055 | | | | | |
| 0.6640629 | 0.6757817 | 0.6953130 | 0.7226565 | 0.7578124 | 0.8007807 | 0.8515614 | 0.9101547 | 0.9765605 | 1.0507791 |
| 1.1328102 | 1.2226540 | 1.3203105 | 1.4257798 | 1.5390618 | | | | | |
| 0.7695315 | 0.7812504 | 0.8007816 | 0.8281251 | 0.8632812 | 0.9062495 | 0.9570304 | 1.0156238 | 1.0820297 | 1.1562484 |
| 1.2382795 | 1.3281234 | 1.4257798 | 1.5312489 | 1.6445308 | | | | | |
| 0.8828128 | 0.8945315 | 0.9140628 | 0.9414064 | 0.9765625 | 1.0195311 | 1.0703121 | 1.1289056 | 1.1953117 | 1.2695305 |
| 1.3515616 | 1.4414055 | 1.5390618 | 1.6445308 | 1.7578124 | | | | | |

340883

5. PROGRAMAS COMPUTACIONALES.

Los programas computacionales para resolver las ecuaciones de Helmholtz, de Poisson y Biarmónica, con condiciones de Dirichlet en la frontera de $R = [a,b] \times [c,d]$, $b-a = d-c$, mediante el método del producto tensorial con uso de la transformada rápida de Fourier, son presentados en el apéndice. Ellos tienen en común las subrutinas IMPRIM y FFTMOR.

La subrutina IMPRIM imprime los resultados finales. Sus parámetros son una matriz B y el número natural N. La subrutina FFTMOR tiene por propósito computar los productos Qc donde Q es la matriz $(\operatorname{sen} \frac{\pi i j}{n})$ de orden $(n-1) \times (n-1)$, y c es un vector columna. FFTMOR llama a su vez a la subrutina FFT, correspondiente al algoritmo de Cooley-Tukey para computar la transformada discreta de Fourier, presentado en [1]. Los parámetros de la subrutina FFTMOR son el vector c,
 $N = 2^k$, NSMALL = 2N, NU = k.

Para el caso de las ecuaciones de Helmholtz y de Poisson el segundo miembro del respectivo sistema de ecuaciones lineales es generado mediante la subrutina SEG.

Los parámetros de esta subrutina son una matriz B, en la cual se almacenan por filas, las componentes de dicho miembro, el natural $N = 2^{k+1}$, los vértices XA, XB, YC y YD del cuadrado R, y el valor H que corresponde a la distancia entre los puntos de la partición. Previamente deben definirse las funciones F(X,Y) y G(X,Y) correspondientes a f(x,y) y a la definición de u(x,y) en la frontera de R, respectivamente.

Para el problema de la ecuación Biarmónica, se segundo miembro es generado mediante la subrutina ASEG, cuyos parámetros son los

mismos de la subrutina SEG. Ahora deben definirse las funciones $F(X,Y)$, $G(X,Y)$, $P(X,Y)$ y $Q(X,Y)$ correspondiente a $f(x,y)$ y los valores de $u(x,y)$, $\frac{\partial u}{\partial x}^2(x,y)$ y $\frac{\partial^2 u}{\partial y^2}(x,y)$ en la frontera de R , respectivamente.

APENDICE A: PROGRAMA PARA LA ECUACION DE HELMHOLTZ Y ECUACION DE POISSON ($\sigma=0$).

```

DOUBLE PRECISION V(64,64),T(64,64),R(64,64),S(64,64),G(64,64)
DOUBLE PRECISION FILA(64),COLUM(64) H LAMDA,SIGMA,A,B,C,D,HH
EQUIVALENCE(V(1,1),T(1,1),R(1,1),S(1,1),G(1,1))
EQUIVALENCE(FILA(1),COLUM(1))
INTEGER NSMALL,I,J,K,N
COMMON NSMALL
OPEN(UNIT=22,FILE='DAT.DAT', STATUS='OLD')
OPEN(UNIT=8,FILE='SAL.LIS', STATUS='NEW')

```

Este programa resuelve la ecuacion de HELMHOLTZ y de POISSON ($\sigma=0$), usando el metodo del producto tensorial con uso de la transformada rapida de FOURIER.

```

READ(22,2)K,A,B,C,D,SIGMA
NSMALL=2***(K+1)
N=2**K
H=(B-A)/FLOAT(NSMALL)
HH=H**2
IF(K.GT.5)STOP
CALL SEG(G,NSMALL,H,A,B,C,D)
WRITE(8,1)
CALL IMPRIM(G,NSMALL)
FORMAT('1',30X,'SEGUNDO MIEMBRO',/31X,15('-'),//)
FORMAT(I8,X,F8.5,X,F8.5,X,F8.5,X,F8.5,X,F8.5)

```

```

DO 30 I=1,NSMALL-1
    DO 10 J=1,NSMALL-1
        FILA(J)=G(I,J)
    CALL FFTMOR(FILA,N,NSMALL,K)
    DO 30 J=1,NSMALL-1
        R(I,J)=FILA(J)

```

```

DO 50 I=1,NSMALL-1
  DO 40 J=1,NSMALL-1
    COLUM(J)=R(J,I)
  CALL FFTMOR(COLUM,N,NSMALL,K)
  DO 50 J=1,NSMALL-1
    S(J,I)=COLUM(J)/(LAMDA(J)+LAMDA(I)+SIGMA*HH)

```

```

DO 70 I=1,NSMALL-1
  DO 60 J=1,NSMALL-1
    FILA(J)=S(I,J)
    CALL FFTMOR(FILA,N,NSMALL,K)
    DO 70 J=1,NSMALL-1
      T(I,J)=FILA(J)

```

```

DO 90 I=1,NSMALL-1
  DO 80 J=1,NSMALL-1
    COLUM(J)=T(J,I)
    CALL FFTMOR(COLUM,N,NSMALL,K)
    DO 90 J=1,NSMALL-1
      V(J,I)=COLUM(J)/FLOAT(N**2)

```

```

100 WRITE(8,56)
      CALL IMPRIM(V,NSMALL)
56   FORMAT('0',40X,'RESULTADOS FINALES',/41X,18('-'),//)
      STOP
      END

```

C234567

```

SUBROUTINE FFTMOR(C,N,NSMALL,NU)
DOUBLE PRECISION TERM1,TERM2,TERM3,YREAL(32),YIMAG(32)
DOUBLE PRECISION C(NSMALL),D(64)
DOUBLE PRECISION Y2REAL(32),Y2IMAG(32),PI,CIMAG(64)
PI=3.141592654
YREAL(1)=0
YIMAG(1)=C(1)

DO 40 J=2,N
    IPAR=2*K-2
    IMPAR=2*K-1

        YREAL(J)=C(IPAR)
40      YIMAG(J)=C(IMPAR)
        CALL FFT(YREAL,YIMAG,N,NU)
        DO 70 K=1,N-1
            IPAR=2*K
            TERM1=DSIN((PI*K)/N)*(YIMAG(K+1)+YIMAG(N-K+1))/2.
            TERM2=(YIMAG(K+1)-YIMAG(N-K+1))/2.
            TERM3=DCOS((PI*K)/N)*(YREAL(K+1)-YREAL(N-K+1))/2.
            D(IPAR)=TERM3+TERM1-TERM2
70      C      DO 80 J=1,NSMALL-1
            CIMAG(J)=C(J)*DSIN((PI*j)/NSMALL)*(-1.0)
80      C      C(J)=C(J)*DCOS((PI*j)/NSMALL)

C      YREAL(1)=0
C      YIMAG(1)=0
C      Y2REAL(1)=C(1)
C      Y2IMAG(1)=CIMAG(1)

C      DO 90 J=2,N
        IPAR=2*K-2
        IMPAR=2*K-1
        YREAL(J)=C(IPAR)
        YIMAG(J)=CIMAG(IPAR)
        Y2REAL(J)=C(IMPAR)
90      Y2IMAG(J)=CIMAG(IMPAR)

C      CALL FFT(YREAL,YIMAG,N,NU)
C      CALL FFT(Y2REAL,Y2IMAG,N,NU)

C      DO 100 K=0,N-1
        TERM1=DSIN((PI*K)/N)*Y2REAL(K+1)
        TERM2=DCOS((PI*K)/N)*Y2IMAG(K+1)
        IMPAR=2*K+1
100     D(IMPAR)=TERM1-TERM2-YIMAG(K+1)

C      DO 110 K=1,NSMALL-1
110     C(K)=D(K)
        RETURN
        END

```

C234567

```

SUBROUTINE FFT(XREAL,XIMAG,N,NU)
DOUBLE PRECISION XREAL(N),XIMAG(N),ARG,P,C,S,TREAL,TIMAG
N2=N/2
NU1=NU-1
K=0
DO 100 L=1,NU
102   DO 101 I=1,N2
      NAUX=K/2**NU1
      P=IBITR(NAUX,NU)
      ARG=6.283185*P/FLOAT(N)
      C=DCOS(ARG)
      S=DSIN(ARG)
      K1=K+1
      K1N2=K1+N2
      TREAL=XREAL(K1N2)*C+XIMAG(K1N2)*S
      TIMAG=XIMAG(K1N2)*C-XREAL(K1N2)*S
      XREAL(K1N2)=XREAL(K1)-TREAL
      XIMAG(K1N2)=XIMAG(K1)-TIMAG
      XREAL(K1)=XREAL(K1)+TREAL
      XIMAG(K1)=XIMAG(K1)+TIMAG
101   K=K+1
C
      K=K+N2
      IF(K.LT.N)GO TO 102
      K=0
      NU1=NU1-1
100   N2=N2/2
      DO 103 K=1,N
         I=IBITR(K-1,NU)+1
         IF(I.LE.K)GO TO 103
         TREAL=XREAL(K)
         TIMAG=XIMAG(K)
         XREAL(K)=XREAL(I)
         XIMAG(K)=XIMAG(I)
         XREAL(I)=TREAL
         XIMAG(I)=TIMAG
103   CONTINUE
      RETURN
      END

```

C234567

```

SUBROUTINE SEG(B,N,H,XA,XB,YC,YD)
DOUBLE PRECISION B(64,64),H,F,G,XA,XB,YC,YD
DO 10 J=1,N-1
    DO 10 I=1,N-1
        B(I,J)=F(XA+I*H,YC+J*H)*(H**2)
    DO 20 K=1,N-1
        B(1,K)=B(1,K)+G(XA+K*H,YC)
    20 B(N-1,K)=B(N-1,K)+G(XA+K*H,YD)
    DO 30 K=1,N-1
        B(K,1)=B(K,1)+G(XA,YC+K*H)
    30 B(K,N-1)=B(K,N-1)+G(XB,YC+K*H)
    RETURN
END

```

C234567

```

SUBROUTINE IMPRIM(B,N)
DOUBLE PRECISION B(64,64)
INTEGER N
WRITE(8,5)
DO 10 I=1,N-1
    WRITE(8,20)(B(I,J),J=1,N-1)
    RETURN
20 FORMAT('0',10F13.7)
5  FORMAT('0',40X,'----- ** -----')
END

```

```
C234567
      FUNCTION IBITR(J,NU)
      J1=J
      IBITR=0
      DO 200 I=1,NU
          J2=J1/2
          IBITR=IBITR*2+(J1-2*J2)
200    J1=J2
      RETURN
      END
C234567
      DOUBLE PRECISION FUNCTION LAMDA(K)
      DOUBLE PRECISION PI
      INTEGER K,NSMALL
      COMMON NSMALL
      PI=3.141592653589
      LAMDA=2.0-(2.0*DCOS((PI*K)/NSMALL))
      RETURN
      END
C234567
      DOUBLE PRECISION FUNCTION F(X,Y)
      DOUBLE PRECISION X,Y,PI
      PI=3.141592653589
      F=2.0*(PI**2)*(DCOS(PI*X)+DCOS(PI*Y))
      RETURN
      END
C234567
      DOUBLE PRECISION FUNCTION G(X,Y)
      DOUBLE PRECISION X,Y,PI
      PI=3.141592653589
      G=DCOS(PI*X)+DCOS(PI*Y)
      RETURN
      END
```

APENDICE B: PROGRAMA PARA LA ECUACION BIARMONICA.

```

DOUBLE PRECISION V(64,64),T(64,64),R(64,64),S(64,64),G(64,64)
DOUBLE PRECISION FILA(64),COLUM(64),H,LAMDA,A,B,C,D
EQUIVALENCE(V(1,1),T(1,1),R(1,1),S(1,1),G(1,1))
EQUIVALENCE(FILA(1),COLUM(1))
INTEGER NSMALL,I,J,K,N
COMMON NSMALL
OPEN(UNIT=22,FILE='DAT.DAT',STATUS='OLD')
OPEN(UNIT=8,FILE='SAL.LIS',STATUS='NEW')

```

C-----
 C Este programa resuelve la ecuacion BIARMONICA usando
 C el metodo del producto tensorial con uso de la transformada
 C rapida de FOURIER.
 C-----

```

READ(22,2)K,A,B,C,D
NSMALL=2**K+1
N=2**K
H=(B-A)/FLOAT(NSMALL)
IF(K.GT.5)STOP
CALL ASEG(G,NSMALL,H,A,B,C,D)
WRITE(8,1)
CALL IMPRIM(G,NSMALL)
FORMAT('1',50X,'SEGUNDO MIEMBRO',/51X,15('-'),//)
FORMAT(I8,X,F8.5,X,F8.5,X,F8.5,X,F8.5,X,F8.5)

```

```

10 DO 30 I=1,NSMALL-1
      DO 10 J=1,NSMALL-1
          FILA(J)=G(I,J)
          CALL FFTMOR(FILA,N,NSMALL,K)
      DO 30 J=1,NSMALL-1
          R(I,J)=FILA(J)
30
20
30
40 DO 50 I=1,NSMALL-1
      DO 40 J=1,NSMALL-1
          COLUM(J)=R(J,I)
          CALL FFTMOR(COLUM,N,NSMALL,K)
50 DO 50 J=1,NSMALL-1
      S(J,I)=COLUM(J)/((LAMDA(J)+LAMDA(I))**2)
50
60 DO 70 I=1,NSMALL-1
      DO 60 J=1,NSMALL-1
          FILA(J)=S(I,J)
          CALL FFTMOR(FILA,N,NSMALL,K)
      DO 70 J=1,NSMALL-1
          T(I,J)=FILA(J)
70
80 DO 90 I=1,NSMALL-1
      DO 80 J=1,NSMALL-1
          COLUM(J)=T(J,I)
          CALL FFTMOR(COLUM,N,NSMALL,K)
      DO 90 J=1,NSMALL-1
          V(J,I)=COLUM(J)/FLOAT(N**2)
90
100 WRITE(8,56)
      CALL IMPRIM(V,NSMALL)
56 FORMAT('0',//51X,'RESULTADOS FINALES',/51X,18('-'),//)
      STOP
      END

```

C234567

```

SUBROUTINE FFTMOR(C,N,NSMALL,NU)
DOUBLE PRECISION TERM1,TERM2,TERM3,YREAL(32),YIMAG(32)
DOUBLE PRECISION C(NSMALL),D(64)
DOUBLE PRECISION Y2REAL(32),Y2IMAG(32),PI,CIMAG(64)
PI=3.141592654
YREAL(1)=0
YIMAG(1)=C(1)

DO 40 J=2,N
  IPAR=2*j-2
  IMPAR=2*j-1

  YREAL(J)=C(IPAR)
  YIMAG(J)=C(IMPAR)
  CALL FFT(YREAL,YIMAG,N,NU)
  DO 70 K=1,N-1
    IPAR=2*k
    TERM1=DSIN((PI*k)/N)*(YIMAG(K+1)+YIMAG(N-K+1))/2.
    TERM2=(YIMAG(K+1)-YIMAG(N-K+1))/2.
    TERM3=DCOS((PI*k)/N)*(YREAL(K+1)-YREAL(N-K+1))/2.
    D(IPAR)=TERM3+TERM1-TERM2
  C
  DO 80 J=1,NSMALL-1
    CIMAG(J)=C(J)*DSIN((PI*j)/NSMALL)*(-1.0)
  C
  80   C(J)=C(J)*DCOS((PI*j)/NSMALL)

  YREAL(1)=0
  YIMAG(1)=0
  Y2REAL(1)=C(1)
  Y2IMAG(1)=CIMAG(1)
  C
  DO 90 J=2,N
    IPAR=2*j-2
    IMPAR=2*j-1
    YREAL(J)=C(IPAR)
    YIMAG(J)=CIMAG(IPAR)
    Y2REAL(J)=C(IMPAR)
  90   Y2IMAG(J)=CIMAG(IMPAR)
  C
  CALL FFT(YREAL,YIMAG,N,NU)
  CALL FFT(Y2REAL,Y2IMAG,N,NU)
  C
  DO 100 K=0,N-1
    TERM1=DSIN((PI*k)/N)*Y2REAL(K+1)
    TERM2=DCOS((PI*k)/N)*Y2IMAG(K+1)
    IMPAR=2*k+1
  100  D(IMPAR)=TERM1-TERM2-YIMAG(K+1)
  C
  DO 110 K=1,NSMALL-1
    C(K)=D(K)
  110  RETURN
END

```

C234567

```

SUBROUTINE FFT(XREAL,XIMAG,N,NU)
DOUBLE PRECISION XREAL(N),XIMAG(N),ARG,P,C,S,TREAL,TIMAG
N2=N/2
NU1=NU-1
K=0
DO 100 L=1,NU
102   DO 101 I=1,N2
      NAUX=K/2**NU1
      P=IBITR(NAUX,NU)
      ARG=6.283185*P/FLOAT(N)
      C=DCOS(ARG)
      S=DSIN(ARG)
      K1=K+1
      K1N2=K1+N2
      TREAL=XREAL(K1N2)*C+XIMAG(K1N2)*S
      TIMAG=XIMAG(K1N2)*C-XREAL(K1N2)*S
      XREAL(K1N2)=XREAL(K1)-TREAL
      XIMAG(K1N2)=XIMAG(K1)-TIMAG
      XREAL(K1)=XREAL(K1)+TREAL
      XIMAG(K1)=XIMAG(K1)+TIMAG
101   K=K+1
C
      K=K+N2
      IF(K.LT.N)GO TO 102
      K=0
      NU1=NU1-1
100   N2=N2/2
      DO 103 K=1,N
         I=IBITR(K-1,NU)+1
         IF(I.LE.K)GO TO 103
         TREAL=XREAL(K)
         TIMAG=XIMAG(K)
         XREAL(K)=XREAL(I)
         XIMAG(K)=XIMAG(I)
         XREAL(I)=TREAL
         XIMAG(I)=TIMAG
103   CONTINUE
      RETURN
      END

```

```

SUBROUTINE ASEG(B,N,H,XA,XB,YC,YD)
DOUBLE PRECISION B(64,64),H,F,G,XA,XB,YC,YD
HH=H**2
HHH=HH**2
DO 10 J=1,N-1
  DO 10 I=1,N-1
    DO 20 K=1,N-1
      B(I,J)=F(XA+I*H,YC+J*H)*HHH
      B(1,K)=B(1,K)+G(XA+K*H,YC)*6-G(XA+(K+1)*H,YC)*2
      B(1,K)=B(1,K)-Q(XA+K*H,YC)*HH-G(XA+(K-1)*H,YC)*2
      B(N-1,K)=B(N-1,K)+G(XA+K*H,YD)*6-G(XA+(K+1)*H,YD)*2
      B(N-1,K)=B(N-1,K)-Q(XA+K*H,YD)*HH-G(XA+(K-1)*H,YD)*2
    DO 30 K=1,N-1
      B(K,1)=B(K,1)+G(XA,YC+K*H)*6-G(XA,YC+(K+1)*H)*2
      B(K,1)=B(K,1)-G(XA,YC+(K-1)*H)*2-P(XA,YC+K*H)*HH
      B(K,N-1)=B(K,N-1)+G(XB,YC+K*H)*6-G(XB,YC+(K+1)*H)*2
      B(K,N-1)=B(K,N-1)-P(XB,YC+K*H)*HH-G(XB,YC+(K-1)*H)*2
C     B(1,1)=B(1,1)+2*G(XA,YC)
C     B(1,N-1)=B(1,N-1)+2*G(XB,YC)
C     B(N-1,1)=B(N-1,1)+2*G(XA,YD)
C     B(N-1,N-1)=B(N-1,N-1)+2*G(XB,YD)
C     B(1,2)=B(1,2)-G(XA,YC+H)
C     B(2,1)=B(2,1)-G(XA+H,YC)
C     B(1,N-2)=B(1,N-2)-G(XB,YC+H)
C     B(N-2,1)=B(N-2,1)-G(XA+H,YD)
C     B(N-1,2)=B(N-1,2)-G(XA,YD-H)
C     B(2,N-1)=B(2,N-1)-G(XB-H,YC)
C     B(N-1,N-2)=B(N-1,N-2)-G(XB,YD-H)
C     B(N-2,N-1)=B(N-2,N-1)-G(XB-H,YD)
C     DO 40 K=2,N-2
C       B(2,K)=B(2,K)-G(XA+K*H,YC)
C     40   B(N-2,K)=B(N-2,K)-G(XA+K*H,YD)
C     DO 50 K=2,N-2
C       B(K,2)=B(K,2)-G(XA,YC+K*H)
C     50   B(K,N-2)=B(K,N-2)-G(XB,YC+K*H)
C     RETURN
END

```

```
C234567
      SUBROUTINE IMPRIM(B,N)
      DOUBLE PRECISION B(64,64)
      INTEGER N
      WRITE(8,5)
      DO 10 I=1,N-1
10      WRITE(8,20)(B(I,J),J=1,N-1)
      RETURN
      20 FORMAT('0',10F13.7)
      5  FORMAT('0',40X,'----- ** -----')
      END

C234567
      FUNCTION IBITR(J,NU)
      J1=J
      IBITR=0
      DO 200 I=1,NU
      J2=J1/2
      IBITR=IBITR*2+(J1-2*J2)
200    J1=J2
      RETURN
      END

C234567
      DOUBLE PRECISION FUNCTION LAMDA(K)
      DOUBLE PRECISION PI
      INTEGER K,NSMALL
      COMMON NSMALL
      PI=3.141592653589
      LAMDA=2.0-(2.0*DCOS((PI*K)/NSMALL))
      RETURN
      END

C234567
      DOUBLE PRECISION FUNCTION F(X,Y)
      DOUBLE PRECISION X,Y
      F=0
      RETURN
      END

C234567
      DOUBLE PRECISION FUNCTION G(X,Y)
      DOUBLE PRECISION X,Y
      G=X**2+Y**2
      RETURN
      END

C234567
      DOUBLE PRECISION FUNCTION P(X,Y)
      DOUBLE PRECISION X,Y
      P=2.0
      RETURN
      END

C234567
      DOUBLE PRECISION FUNCTION Q(X,Y)
      DOUBLE PRECISION X,Y
      Q=2.0
      RETURN
      END
```

BIBLIOGRAFIA.

- [1] BRIGHAM, E. ORAN: The Fast Fourier Transform
Prentice-Hall, Inc. U.S.A. 1974.
- [2] HOUSTIS, E.N.;
PAPATHEODOROU. : Comparison of Fast Direct Methods for Elliptic
Problems.
Advances in Computer Methods for Partial
Differential Equations-II. IMACS(AICA), 1977.
- [3] LYNCH, E.; RICE, JOHN R.;
THOMAS, DONALD H.: Direct Solution of Partial Difference Equations
by Tensor Product Methods Numer. Math. 6 pp.
185-199, 1964.
- [4] LYNCH, E.; RICE, JOHN R.;
THOMAS, DONALD H.: Tensor Product Analysis of Partial Difference
Equations, Bull. Amer. Math. Soc. 70, pp. 378-
384, 1964.
- [5] ROJO, O; SOTO, R.;
VALDIVIA, L. : Aplicación del Método de Descomposición Matri-
cial y la Transformada Rápida de Fourier a la
solución de la Ecuación de Poisson.
Revista Proyecciones N° 4, Depto. Matemáticas,
U. del Norte, 1983.